

Enseignement de la Méthode des Éléments Finis en tronc commun à l'ESTP

27 mars 2024

Outils d'analyse fonctionnelle

- Rappels sur les distributions
- Espaces de Sobolev

$$H^1(\Omega) = \{v \in L^2(\Omega), \frac{\partial v}{\partial x_i} \in L^2(\Omega)\}$$

$H^1(\Omega)$ est un espace de Hilbert. Plus généralement $H^m(\Omega) = \{v \in L^2(\Omega), \partial^\alpha v \in L^2(\Omega), |\alpha| \leq m\}$.

- Théorème de trace ,

$$H_0^1(\Omega) = \{v \in H^1(\Omega), v|_\Gamma = 0\}$$

Formulation variationnelle

- Formule de Green :

$$-\int_\Omega \Delta u \cdot v \, dx = \int_\Omega \nabla u \cdot \nabla v \, dx - \int_\Gamma \frac{\partial v}{\partial \vec{n}} \cdot v \, d\sigma$$

- Problème aux limites elliptiques

Problème de Dirichlet :

$$\begin{cases} -\Delta u = f & \text{dans } \Omega \\ u = 0 & \text{sur } \Gamma \end{cases} \iff \forall \varphi \in \mathcal{D}(\Omega), \int_\Omega \nabla u \cdot \nabla \varphi \, dx = \int_\Omega f \varphi \, dx$$

Problème de Neumann :

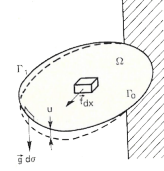
$$\begin{cases} -\Delta u + u = f & \text{dans } \Omega \\ \frac{\partial v}{\partial \vec{n}} = 0 & \text{sur } \Gamma \end{cases} \iff \forall \varphi \in \mathcal{D}(\Omega), \int_\Omega \nabla u \cdot \nabla \varphi \, dx + \int_\Omega u \cdot \varphi \, dx = \int_\Omega f \varphi \, dx$$

- Problèmes variationnels abstraits Trouver $u \in V$ tel que

$$\boxed{\forall v \in V \quad a(u, v) = \ell(v)}$$

$$\iff \text{Trouver } u \in V \text{ tel que } \boxed{J(u) = \min_{v \in V} J(v)} \text{ où } J(v) = \frac{1}{2}a(v, v) - \ell(v).$$

- Théorème de Lax-Milgram
- Système de l'élasticité



$$\begin{cases} \operatorname{div} \sigma(u) + f = 0 & \text{dans } \Omega \\ u = 0 & \text{sur } \Gamma_0 \\ \sigma(u)\vec{n} = g & \text{sur } \Gamma_1 \end{cases}$$

où

$$\sigma_{ij}(v) = \lambda \left(\sum_{k=1}^n \varepsilon_{kk} \right) \delta_{ij} + 2\mu \varepsilon_{ij}(v) \text{ et } \varepsilon_{ij}(v) = \frac{1}{2} \left(\frac{\partial v_i}{\partial x_j} + \frac{\partial v_j}{\partial x_i} \right)$$

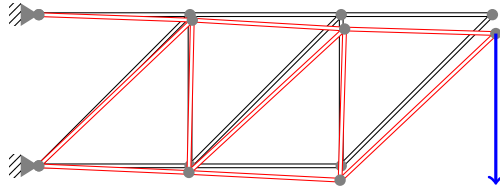
La formulation variationnelle : Trouver $u \in V$ tel que $\forall v \in V \quad a(u, v) = \ell(v)$ où

$$a(u, v) = \sum_{i,j=1}^n \int_{\Omega} \sigma_{ij}(u) \varepsilon_{ij}(v) \, dx \text{ et } \ell(v) = \sum_{i=1}^n \int_{\Omega} f_i v_i \, dx + \int_{\Gamma_1} g_i v_i \, d\sigma$$

Cas particuliers

Barres : Trouver $u \in V = H^1(0, L)$ tel que : $\forall v \in V \quad a(u, v) = \ell(v)$, où

$$a(u, v) = \int_0^L ES u' v' \, dx, \quad \text{et} \quad \ell(v) = f_L v(L) - f_0 v(0)$$



Poutres : Trouver $u \in V = H_0^2(0, L)$ tel que : $\forall v \in V \quad a(u, v) = \ell(v)$, où

$$a(u, v) = \int_0^L EI u'' v'' \, dx, \quad \text{et} \quad \ell(v) = \int_0^L f \cdot v \, dx$$

Plaques et coques minces (Contraintes planes) :

$$\sigma = \begin{pmatrix} \sigma_{11} & \sigma_{12} & 0 \\ \sigma_{11} & \sigma_{22} & 0 \\ 0 & 0 & 0 \end{pmatrix} \quad \text{soit} \quad \sigma^T = [\sigma_{11} \quad \sigma_{22} \quad \sigma_{12}]$$

$$\begin{bmatrix} \sigma_{11} \\ \sigma_{22} \\ \sigma_{12} \end{bmatrix} = \frac{E}{1-\nu^2} \begin{pmatrix} 1 & \nu & 0 \\ \nu & 1 & 0 \\ 0 & 0 & \frac{1+\nu}{2} \end{pmatrix} \begin{bmatrix} \varepsilon_{11} \\ \varepsilon_{22} \\ \varepsilon_{12} \end{bmatrix} \quad \text{et} \quad \varepsilon_{33} = -\frac{\nu}{E}(\sigma_{11} + \sigma_{22})$$

- Système de Stokes :

$$\begin{cases} -\mu \Delta u + \overrightarrow{\text{grad}} p = 0 & \text{dans } \Omega \\ \text{div } u = 0 & \text{dans } \Omega \\ u = 0 & \text{sur } \Gamma \end{cases}$$

Trouver $u \in V$ tel que :

$$a(u, v) - \int_{\Omega} p \text{div } v \, dx = \ell(v)$$

où

$$a(u, v) = \mu \int_{\Omega} \nabla u \cdot \nabla v \, dx \quad \text{et} \quad \ell(v) = \int_{\Omega} f \cdot v \, dx$$

- Approximation variationnelle. Trouver $u_h \in V_h$ solution de

$$\forall v_h \in V_h \quad a(u_h, v_h) = \ell(v_h)$$

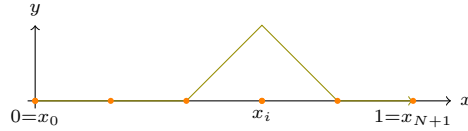
- Application en dimension $n = 1$.

1. Problème de Dirichlet

$$\begin{cases} -\frac{d}{dx} \left(\lambda \frac{du}{dx} \right) + \mu u = f & \text{sur }]0, 1[, \\ u(0) = u(1) = 0 \end{cases}$$

$$a(u, v) = \int_0^1 (\lambda u' v' + \mu uv) dx \quad \text{et} \quad \ell(v) = \int_0^1 f v \, dx$$

$$V_h = \{v \in \mathcal{C}^0(\bar{\Omega}); v(0) = v(1) = 0, v|_{K_i} \in P_1, 0 \leq i \leq I\} = \text{Vect}(\varphi_i)$$



$$u_h = \sum_{j=1}^n u_j \varphi_j \quad \text{où les } (u_j) \text{ sont solution de } \sum_{j=1}^n a(\varphi_i, \varphi_j) u_j = \ell(\varphi_i) \text{ pour } i = 1, n$$

matriciellement

$$\begin{pmatrix} a(\varphi_1, \varphi_1) & a(\varphi_1, \varphi_2) & 0 & \cdots & 0 \\ a(\varphi_2, \varphi_1) & a(\varphi_2, \varphi_2) & a(\varphi_2, \varphi_3) & \ddots & \vdots \\ 0 & \ddots & \ddots & \ddots & 0 \\ \vdots & \ddots & a(\varphi_{n-1}, \varphi_{n-2}) & a(\varphi_{n-1}, \varphi_{n-1}) & a(\varphi_{n-1}, \varphi_n) \\ 0 & \cdots & 0 & a(\varphi_n, \varphi_{n-1}) & a(\varphi_n, \varphi_n) \end{pmatrix} \begin{pmatrix} u_1 \\ u_2 \\ \vdots \\ u_n \end{pmatrix} = \begin{pmatrix} \ell(\varphi_1) \\ \ell(\varphi_2) \\ \vdots \\ \ell(\varphi_n) \end{pmatrix}$$

2. Problème de Neumann

$$\begin{cases} -\frac{d}{dx} \left(\lambda \frac{du}{dx} \right) + \mu u = f & \text{sur }]0, 1[, \\ u'(0) = u'(1) = 0 \end{cases}$$

$$a(u, v) = \int_0^1 (\lambda u' v' + \mu uv) dx \quad \text{et} \quad \ell(v) = \int_0^1 f v dx$$

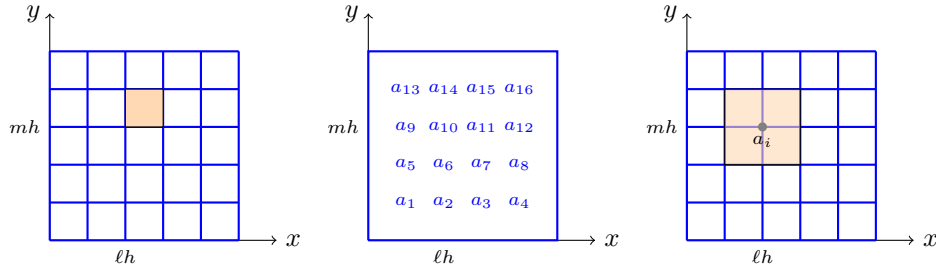
$$V_h = \{v \in \mathcal{C}^0(\bar{\Omega}); \quad v|_{K_i} \in P_1, \quad 0 \leq i \leq I\}$$

- Application en dimension $n = 2$.

$$\begin{cases} -\Delta u = f & \text{dans } \Omega =]0, 1[\times]0, 1[, \\ u = 0 & \text{sur } \Gamma = \partial\Omega \end{cases}$$

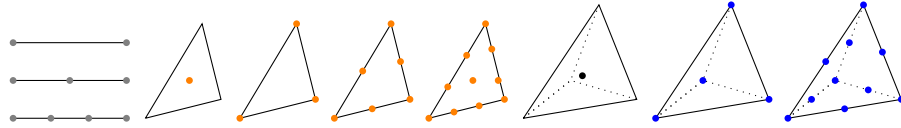
$$a(u, v) = \int_{\Omega} \left(\frac{\partial u}{\partial x} \frac{\partial v}{\partial x} + \frac{\partial u}{\partial y} \frac{\partial v}{\partial y} \right) dx dy \quad \text{et} \quad \ell(v) = \int_{\Omega} f v dx dy$$

$$V_h = \{v \in \mathcal{C}^0(\bar{\Omega}); \quad v|_{K_{\ell, m}} \in Q_1, \quad 0 \leq \ell, m \leq M\}$$

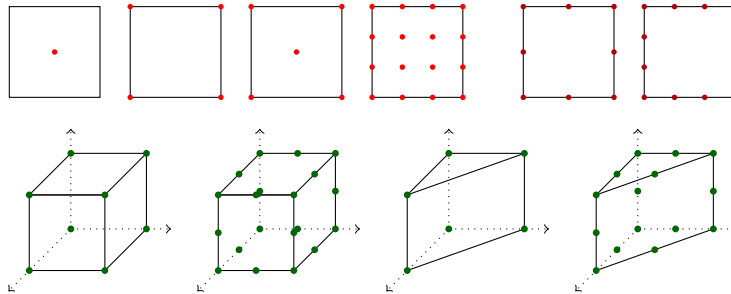


Éléments finis

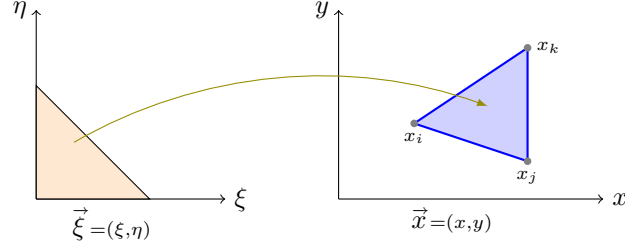
- Interpolation de Lagrange dans \mathbb{R}^n : éléments finis simpliciaux, (K, P_k, Σ_k) .



- Éléments finis parallélotopes. Unisolvants.



- Éléments finis d'Hermite,
- Mise en œuvre pratique de la méthode des éléments finis : Maillage , Famille affine d'éléments finis, Formules de quadrature en 1D, 2D et 3D. Assemblage de la matrice du système.



- Analyse de la méthode des éléments finis : Cas d'un ouvert Ω polyédrique. Cas d'un ouvert Ω à frontière courbe. Convergence de la méthode des éléments finis.

Théorie spectrale des problèmes aux limites

- Problèmes spectraux : équation de la chaleur, équation des ondes.
- Théorie spectrale abstraite. Trouver les valeurs $\lambda \in \mathbb{R}$ pour lesquelles il existe une solution $u \in V$ non nulle, de l'équation

$$\forall v \in V \quad a(u, v) = \lambda(u, v)$$

- Application aux problèmes aux limites elliptiques.

$$\begin{cases} -\sum_{j=1}^n \frac{\partial}{\partial x_j} \sigma_{ij}(\vec{w}_m) = \lambda_m w_{m,i} & \text{dans } \Omega \\ w_{m,i} = 0 & \text{sur } \Gamma_0 \\ \sum_{j=1}^n \sigma_{ij}(\vec{w}_m) \nu_j = 0 & \text{dans } \Gamma_1 \end{cases}$$

$\omega_m = \sqrt{\lambda_m} = m^{\text{ième}}$ pulsation propre et \vec{w}_m le mode propre de vibration du corps solide élastique

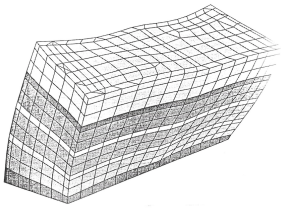


Figure 1.2: Mode n° 1 pour le maillage n° 1 : $f_1 = 16.31 Hz$

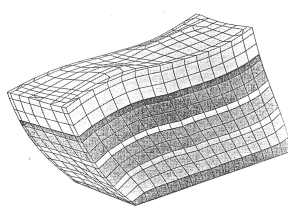


Figure 1.3: Mode n° 2 pour le maillage n° 1 : $f_2 = 23.96 Hz$

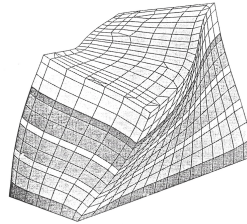


Figure 1.4: Mode n° 3 pour le maillage n° 1 : $f_3 = 26.27 Hz$

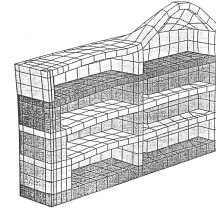


Figure 1.5: Mode n° 4 pour le maillage n° 1 : $f_4 = 42.38 Hz$

Problèmes d'évolution

- Problème parabolique :
 1. équation de la chaleur, système de Stokes.

$$\begin{cases} \frac{\partial u}{\partial t} - \Delta u = f & \text{dans } \Omega_T \\ u = 0 & \text{sur } \Sigma_T \\ u(\cdot, 0) = u_0 & \text{dans } \Omega \end{cases} \iff \begin{cases} \text{Trouver une fonction } u : \\ u \in L^2(0, T; V) \cap \mathcal{C}^0(0, T; H), \\ \frac{d}{dt}(u(t), v) + a(u(t), v) = (f(t), v) \quad \text{où } a(u, v) = \int_{\Omega} \nabla u \cdot \nabla v \, dx \\ u(0) = u_0 \end{cases}$$

2. Méthode de semi-discrétisation.

$$\forall v_h \in V_h \quad a(w_{i,h}, v_h) = \lambda_{i,h}(w_{i,h}, v_h)$$

$$u_h(t) = \sum_{i=1}^N \left\{ (u_{0,h}, w_{i,h}) e^{-\lambda_{i,h}t} + \int_0^t (f(s), w_{i,h}) e^{-\lambda_{i,h}(t-s)} ds \right\} w_{i,h}$$

3. Discrétisation totale.

$$\frac{1}{\Delta t} (y_{n+1} - y_n) = \theta \varphi(t_{n+1}, y_{n+1}) + (1 - \theta) \varphi(t_n, y_n), \quad 0 \leq n \leq N - 1$$

• Problème hyperbolique : équation des ondes. Semi-discrétisation et discrétisation totale.

1. équation de la chaleur, système de Stokes.

$$\left\{ \begin{array}{ll} \frac{\partial^2 u}{\partial t^2} - \Delta u = f & \text{dans } \Omega_T \\ u = 0 & \text{sur } \Sigma_T \\ u(., 0) = u_0, \frac{\partial u}{\partial t}(., 0) = u_1 & \text{dans } \Omega \end{array} \right. \iff \left\{ \begin{array}{l} \text{Trouver une fonction } u : \\ u \in \mathcal{C}^0(0, T; V) \cap \mathcal{C}^1(0, T; H), \\ \frac{d^2}{dt^2}(u(t), v) + a(u(t), v) = (f(t), v) \quad \text{où } a(u, v) = \int_{\Omega} \nabla u \cdot \nabla v \\ u(0) = u_0 \quad \frac{\partial u}{\partial t}(0) = u_1 \end{array} \right.$$

2. Méthode de semi-discrétisation.

$$\forall v_h \in V_h \quad a(w_{i,h}, v_h) = \lambda_{i,h}(w_{i,h}, v_h)$$

On pose $\omega_{i,h} = \sqrt{\lambda_{i,h}}$

$$u_h(t) = \sum_{i=1}^N \left\{ (u_{0,h}, w_{i,h}) \cos \omega_{i,h}t + \frac{1}{\omega_{i,h}} (u_{1,h}, w_{i,h}) \sin \omega_{i,h}t + \frac{1}{\omega_{i,h}} \int_0^t (f(s), w_{i,h}) \sin(\omega_{i,h}(t-s)) ds \right\} w_{i,h}$$

3. Discrétisation totale.

$$\left\{ \begin{array}{l} y_{n+1} = y_n + \Delta t z_n + \Delta t^2 \left(\beta \varphi_{n+1} + \left(\frac{1}{2} - \beta \right) \varphi_n \right) \\ z_{n+1} = z_n + \Delta t (\gamma \varphi_{n+1} + (1 - \gamma) \varphi_n), \quad 0 \leq n \leq N - 1 \end{array} \right.$$

Exemples avec CAST3M20

```

INFORMATIONS SUR LE CALCUL
-----
UTILISATEUR   : ibrahimalame
REPERTOIRE    : /Users/ibrahimalame/.
DATE          : Mer 28 avr 2021 16:24:24 CEST
-----
EXECUTION de bin_Cast3M_MAC_EDURE_64_20 ORIGINAL
Realisation 20.0.1

`/shdddh+
.sdhs+ooshdmNh:
-mdo/-...-:ydNNN+
dms/-...:/odmNNN-
.Nmy+:-...:/oydmNNN+
mmdys+ooyhmmNNNN-
:mNmmddddmNNNNyo/-`

`/ydddddmmh+
:ddy+//+shmNmo`
/mho:-...-/oymNNy
mms+:-...-/ohmNNN/
`Nmhs+:/+oydmNNN+
hNmchyssyhdmNNNN/`
.hNmNmmmmmmNNNNNS++/-
`+hmNNNNNNNNds:oyyo+++.
`+syyyso:.
`ods-:odms-/ymmy/.
`ms+ooymyosydNN/
smy:.+h:-+hNNd`
`-:dh+/hh+/+ydNNNo+/.
`-+syyyso:.
`+hdysoosydms+:/+sys/.
.hmy:/-...:/shmNmooyo:
hnh+:-...-/oymNNN/
`Nmho:/-...:/ydmmNNN+
mNmhysoosyhdmmNNN/
/mNmmddddmNNNNNh++/-
:dmNNNNNNNNNNmhs+++/`
`sdmmmmmmmy+.
`+ymhm+:-...:/shmNNhho:
mmy+:-...:/shmNNN-
.Nmho+//+oshdmNNN+
dNmchyssyhdmNNNN-
-mNmNmmmmmmNNNNNNN-
.smNNNNNNNNNNNh-
`/shdddh+

```

```

*** Nombre de CPU *** 4 CPU

*** GEMAT MT 1.8 JUI 19 *** ESOPE=524135 (Mo) LIBRE= 0 (Mo)
NTRK =300000 LTRK = 4096 (Ko)

***** INFORMATIONS CAST3M *****
DATE 18/12/10
Documentation Generale sur Cast3M :
http://www-cast3m.cea.fr/index.php?xml=maj2011
Nouveautes de Cast3M :
http://www-cast3m.cea.fr/index.php?xml=nouvelleversioncast3m
*****
$ FIN DE FICHIER SUR L'UNITE 3
LES DONNEES SONT MAINTENANT LUES SUR LE CLAVIER
$

```

```

opti dime 3 elem cub8;
l1 = (0 0 0)droi (0 0.03 0) 3;
S1 = L1 tran (0 0 0.1) 10;
V1 = S1 volu tran (1. 0 0) 50;
trac V1 cach titr 'poutre' ;
mo1 = mode V1 mecanique elastique isotrope;
ma1 = mate mo1 youn 30.e9 nu 0.2;
trac ma1 mo1;

CL1 = bloq depl S1;

ptx1 = (V1 coor 1) point maxi;
trac ((ptx1 coul roug) et (aret V1));
F1=forc ptx1 (0 0 -1000);
trac (F1 vect forc vert)(aret V1);
k1 = rigi mo1 ma1;
k1= k1 et cl1;

```

```

u1 = reso k1 F1;
# Taille de la matrice: 997728 Facteur: 8.0591    Conditionnement: 0.0000    Performance #(Gflop/s
trac u1 V1;
def0 = defo u1 (aret V1) 0. blan ;
def1 = defo u1 V1 rouge;
trac (def0 et def1);

```

